

نوروآناتومی:

از نظر آناتومی دستگاه عصبی دارای دو بخش مرکزی (CNS) و محیطی (PNS) است. در این مبحث به آناتومی دستگاه عصبی مرکزی پرداخته می شود.

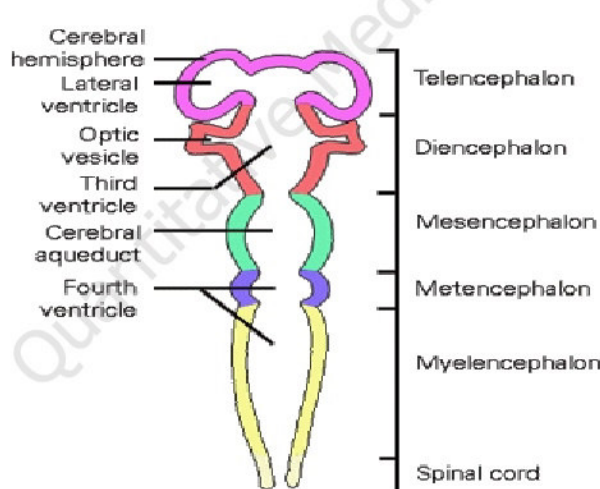
دستگاه عصبی مرکزی

Central Nervous System (CNS)

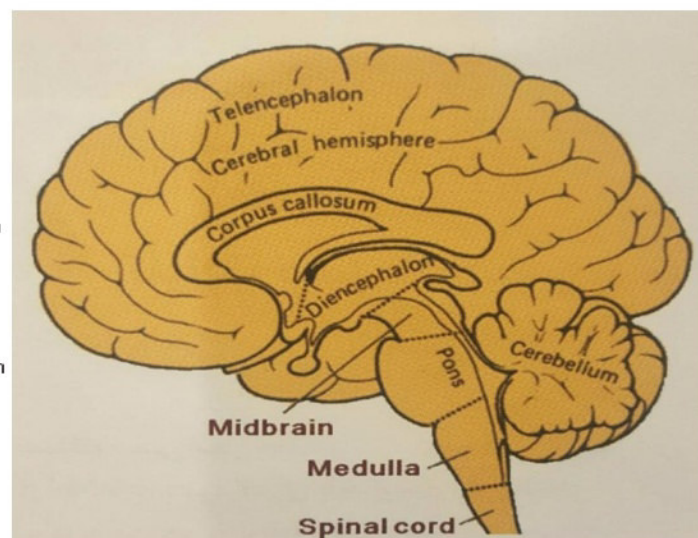
دستگاه عصبی مرکزی شامل مغز و نخاع است که ما به آناتومی مغز می پردازیم.

مغز Brain

مغز دارای سه بخش اصلی مخ (brain stem)، ساقه مغز (cerebrum) و مخچه (cerebellum) است.



شکا ۲-۱



گروه آموزشی سیستم های تصویربرداری پزشکی کمی (QMISG)

تهران، بلوار کشاورز، مجتمع بیمارستانی امام خمینی، ساختمان پرویز کابلی، مرکز تحقیقات تصویربرداری سلولی و مولکولی



<https://telegram.me/QMISG>



www.qmisp.com



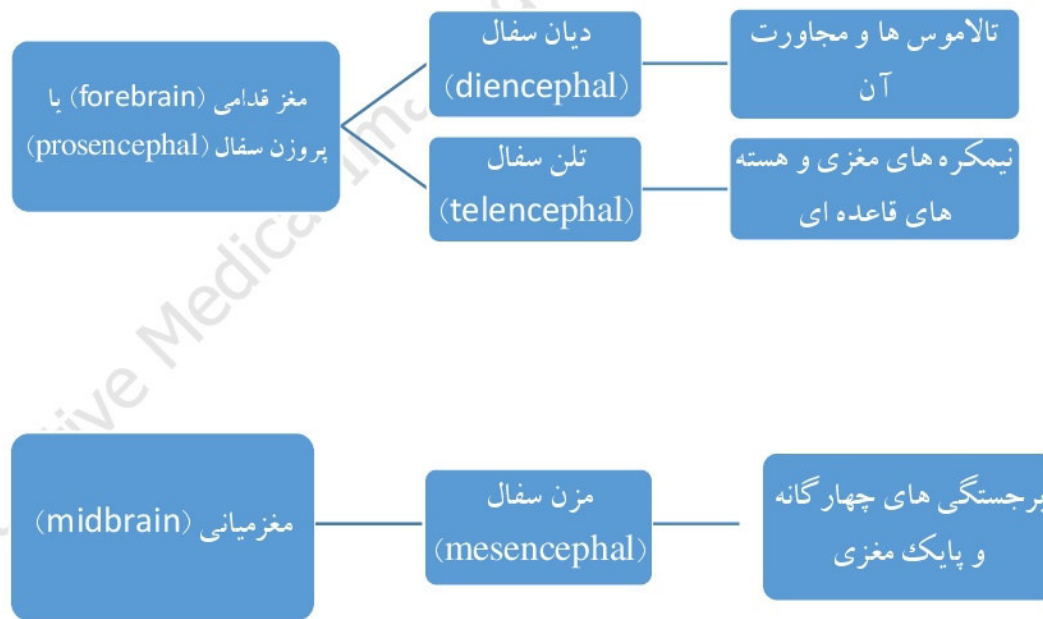
وبسایت

تلفن: ۰۹۱۰۵۸۷۱۱۸۲ - ۰۲۱-۶۶۵۸۱۵۰۵ همراه

پیدایش و تکامل دستگاه عصبی مرکزی

لوله عصبی از هفته سوم جنینی شروع به پیدایش و رشد می کند.

لوله عصبی به طور یکنواخت رشد نمیکند و انتهای جلویی آن به نام روسترال (rostral) رشد بیشتری دارد و سه برجستگی به نام حباب های مغزی اولیه (primary brain vesicles) را تشکیل می دهد که از بالا به پایین شامل مغز قدامی، مغز میانی و مغز خلفی است. (شکل ۲-۱)



گروه آموزشی سیستم های تصویربرداری پزشکی کمی (QMISG)

تهران، بلوار کشاورز، مجتمع بیمارستانی امام خمینی، ساختمان پرویز کابلی، مرکز تحقیقات تصویربرداری سلولی و مولکولی



<https://telegram.me/QMISG>

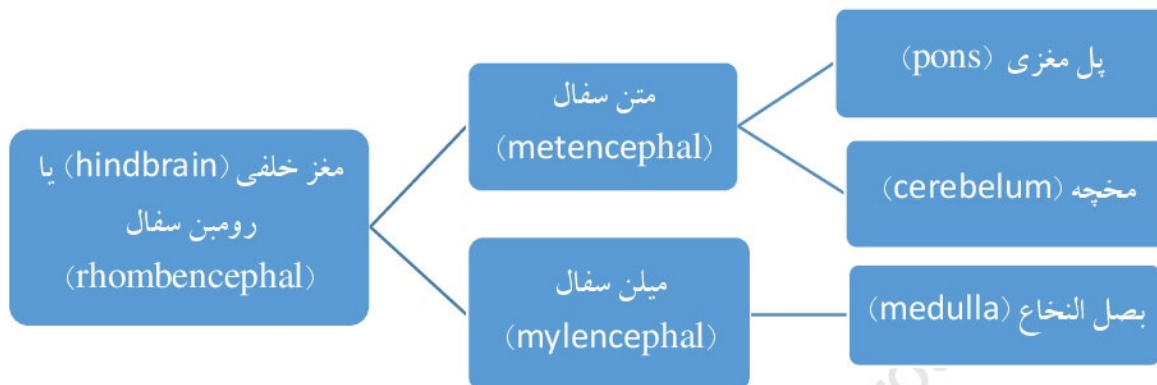


www.qmisp.com



وبسایت،

تلفن، ۰۲۱-۶۶۵۸۱۵۰۵ همراه، ۰۹۱۰۵۸۷۱۱۸۲



سیستم بطنی

مجرای لوله عصبی در حبابچه های مغزی کمی گشادتر شده و بطن های مغز را می سازد.

- بطن های طرفی (lateral ventricle) که در تلن سفال در نیمکره های مغزی قرار

دارند.

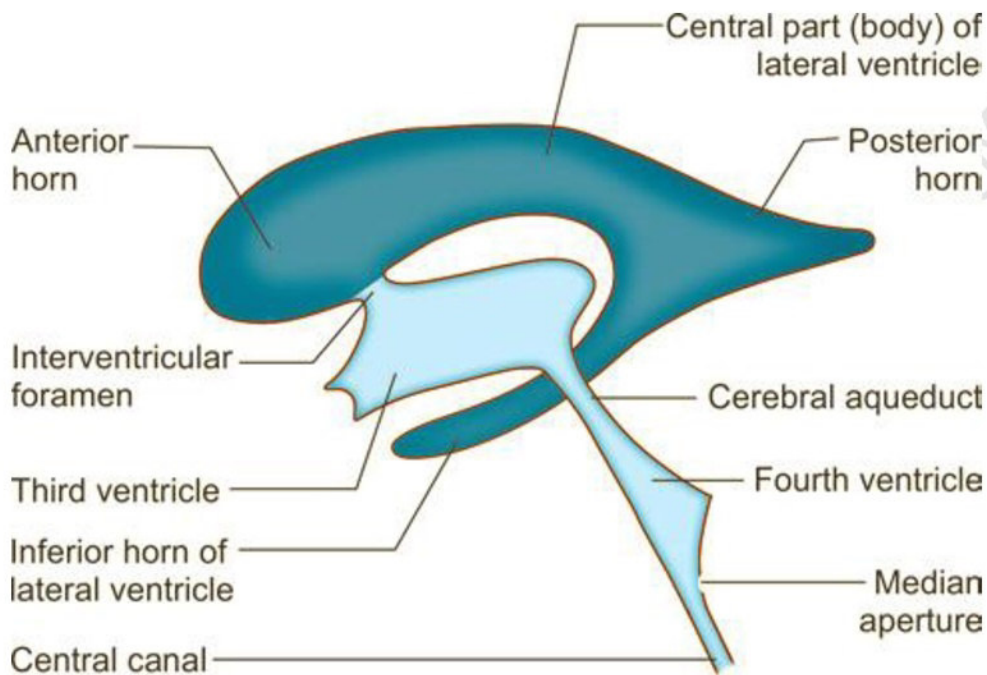
- بطن سوم (third ventricle) در دین سفال در بین تalamوس ها قرار دارد و از طریق

سوراخ بین بینی یا مونرو با بطن های طرفی ارتباط دارد.

- قنات مغزی (cerebral aqueduct) در مزن سفال قرار دارد و بطن سوم و چهارم را به

یکدیگر ارتباط میدهد.

- بطن چهارم (fourth ventricle) در رومبن سفال قرار دارد. (شکل ۲-۲)



شکل ۲-۲

ماده سفید (white matter) در مغز

ماده سفید (white matter) از رشته هاب عصبی میلین دار تشکیل شده است که ارتباطات و مسیر های عصبی را در مغز و نخاع می سازد. ماده سفید در مغز در عمق ماده خاکستری (قشر) قرار دارد.

نیمکره های مغزی (cerebral hemispheres)

شامل قشر یا کورتکس است که ماده سفید را در بر میگیرد.

ماده خاکستری (gray mater) جسم سلولی نورون های است که قشر مغز (کورتکس) و هسته

های قاعده ای را تشکیل می دهد. در واقع به تجمع نورون ها در CNS هسته (nucleus) گفته

می شود.

ماده سفید (white mater) از رشته هاب عصبی میلین دار تشکیل شده است که ارتباطات و

مسیر های عصبی را در مغز و نخاع می سازد. ماده سفید در مغز در عمق ماده خاکستری (قشر)

قرار دارد.

این ارتباطات مغزی دو نیمکره را به هم وصل می کنند که جسم پینه ای (corpus callosum)

و ارنساط قدامی (anterior commissure) را شامل می شود.

کپسول داخلی (internal capsule) که جزیی از ماده سفید است در واقع رشته های عصبی

میلین دار است که ناحیه قشر مغز را به نواحی زیر قشر (subcortical) ارتباط می دهد. (شکل

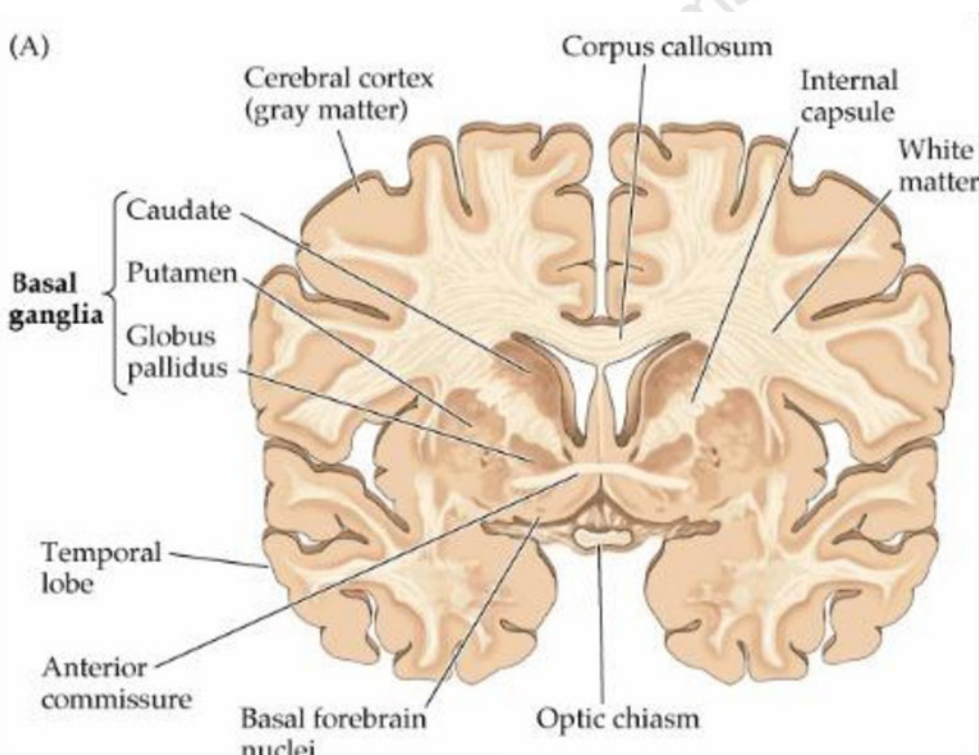
(۲-۳)

گروه آموزشی سیستم های تصویربرداری پزشکی کمی (QMISG)

تهران، بلوار کشاورز، مجتمع بیمارستانی امام خمینی، ساختمان پرویز کابلی، مرکز تحقیقات تصویربرداری سلولی و مولکولی

تلفن، ۰۹۱۰۵۸۷۱۱۸۲، همراه، ۰۲۱-۶۶۵۸۱۵۰۵، <https://telegram.me/QMISG>، www.qmisp.com وبسایت،

قشر مغز (cerebral cortex) لایه نازکی از ماده خاکستری است که سطح نیمکره ها را می پوشاند. قشر مغز به توسط تعداد زیادی شیار (sulcus) و شکنج (gyrus) تقسیم می شود. شکنج ها بخش های برجسته ای هستند که میان در بین شیار های هر لوب قرار دارند. به برخی شیار های عمیق جدا کننده لوب ها شکاف یا fissure نیز گفته می شود مثل شیار مرکزی (central) و جانبی (lateral).



شكل ۲-۳

شیار های سطح لترال نیمکره های مغز:

- شیار جانبی یا لترال (Lateral sulcus): درای سه شاخه قدامی، صعودی و خلفی است.
- شیار مرکزی یا سنترال (central sulcus) (شکل ۲-۴)

شیار های سطح تحتانی مغز

این سطح روی قاعده جمجمه قرار دارد و در عقب روی چادرینه مخچه قرار دارد. شیار لترال این سطح را به دو بخش خلفی و قدامی تقسیم می کند. (شکل ۲-۵)

- شیار کولترال (collateral): در سطح مدیال این شیار شکنج پاراهیپوکامپ داخل بر جسته می شود و که قلاب یا انکوس (uncus) نام دارد. جسم آمیگدال در عمق انکوس قرار دارد. بخش خلفی شکنج پاراهیپوکامپ شکنج لینگوال (lingual gyrus) نام دارد.

- شیار اکسیپیتو تمپورال (occipitotemporal)
- شیار بینایی (orbital)

گروه آموزشی سیستم های تصویربرداری پزشکی کمی (QMISG)

تهران، بلوار کشاورز، مجتمع بیمارستانی امام خمینی، ساختمان پرویز کابلی، مرکز تحقیقات تصویربرداری سلولی و مولکولی



<https://telegram.me/QMISG>



www.qmisp.com

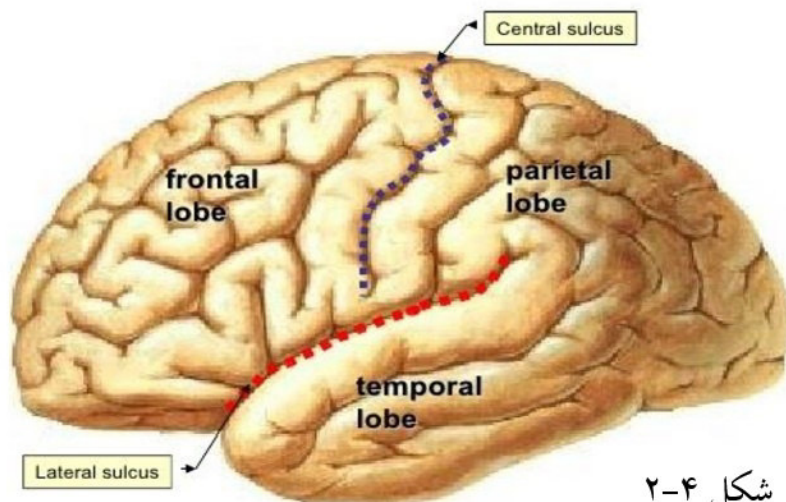


تلفن: ۰۹۱۰۵۸۷۱۱۸۲ - ۰۲۱-۶۶۵۸۱۵۰۵ همراه، وبسایت: www.qmisp.com

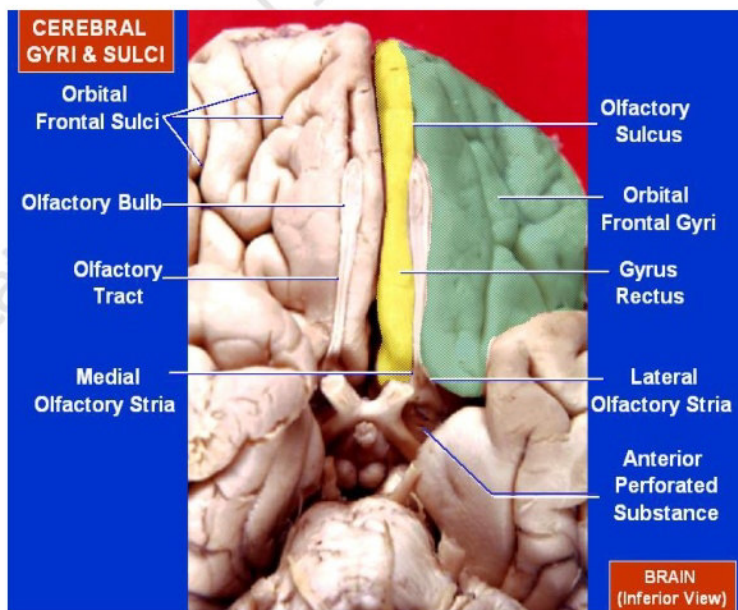
- شیار بویایی (olfactory) : راه بویایی و پیاز بویایی در این شیار جای می گیرند. شکنج

مستقیم یا rectus

- در سطح تحتانی فرونتمال بین شیار بویایی و شکاف طولی مشاهده می شود.



شکل ۲-۴



شکل ۲-۵

گروه آموزشی سیستم های تصویربرداری پزشکی کمی (QMISG)

تهران، بلوار کشاورز، مجتمع بیمارستانی امام خمینی، ساختمان پرویز کابلی، مرکز تحقیقات تصویربرداری سلولی و مولکولی



<https://telegram.me/QMISG>



www.qmisp.com



تلفن: ۰۹۱۰۵۸۷۱۱۸۲ - ۰۲۱-۶۶۵۸۱۵۰۵

References:

1. Margaret Semrud-Clikeman, Phyllis Anne Teeter Ellison, "Child Neuropsychology: Assessment and Interventions for Neurodevelopmental Disorders, 2nd Edition, Springer Science & Business Media, chapter 2: 25-46
2. PRITHA S BHUIYAN, LAKSHMI RAJGOPAL, K SHYAMKISHORE, "Textbook of HUMAN NEUROANATOMY (Fundamental and Clinical)", chapter ۱۳, 9 Edition, 2014
3. Jeffery G. Bednark, Megan E. J. Campbell, and Ross Cunnington, "Basal ganglia and cortical networks for sequential ordering and rhythm of complex movements", *Front Hum Neurosci.* 2015; 9: 421

۴. دکتر فریدون نگهدار، احسان پورقیومی، "آناتومی دستگاه عصبی مرکزی"، انتشارات حبدری، چاپ

- 3131 اول

5. Massimo Filippi, "fMRI Techniques and Protocols", Springer, 2009.
6. Edson Amaro Jr, Gareth J. Barker, "Study design in fMRI: Basic principles", Elsevier, 2005.
7. Stephan Ulmer, Olav Jansen, "fMRI Basics and Clinical Applications", Springer-Verlag Berlin Heidelberg, , 2nd Edition, 2013.
8. Jija S James, Rajesh P G, Chandrasekharan Kesavadas, "fMRI paradigm designing and post-processing Tools", *The Indian journal of radiology and imaging*, V 24, February 2014.
9. Lowe MJ, Lurito JT, Mathews VP, Phillips MD, Hutchins GD. Quantitative comparison of functional contrast from BOLD-weighted spin-echo and gradient-echo echoplanar imaging at 1.5T and H2150 PET in the whole brain. *J Cereb Blood Flow Metab* 20(9):1331-1340.
10. Kocak M. Functional MR imaging of the motor homunculus: Toward optimizing paradigms for clinical scenarios. Proceedings of the American Society of Neuroradiology, Vancouver, Canada. May 13-17, 2002.
11. Ulmer JL, Hacein-Bey L, Mathews VP, Mueller W, DeYoe EA, Prost R, Meyer G, Wascher TM, Krouwer HG, Schmainda KD, Lowe M. Lesion-induced pseudo-dominance at fMRI: Implications for Pre-operative Assessments. *Neurosurgery* 55:569-581(2004).



12. Yetkin FZ, Mueller WM, Hammeke TA, Morris GL 3rd, Haughton VM. Functional magnetic resonance imaging mapping of the sensorimotor cortex with tactile stimulation. *Neurosurgery*. 1995 May;36(5):921-5
13. Moritz C, Rowley H, Haughton V, Swartz K, Jones J, and Badie B. Functional MR imaging assessment of a non-Responsive brain injured patient. *Magnetic Resonance Imaging* 19: 1129-1132, 2001.
14. Paradigm developed by Mary Machulda, PhD, L.P. Mayo Clinic, Rochester
15. W.D. Gaillard, MD, L.M. Balsamo, MA, Z. Ibrahim, BA, B.C. Sachs, BS and B. Xu, PhD. fMRI identifies regional specialization of neural networks for reading in young children. *Neurology* 2003;60:94-100.
16. Paradigm developed by JT Laurito , MD, PhD
17. Laurito JT, Bryan RN, Mathews UP, Ulmer JU, Lowe MJ. Functional Brain Mapping, Categorical Course in Diagnostic Radiology: Neuroradiology, Oak Brook, IL RSNA 2000; 79-104.
18. Salvan CV, Ulmer JL, DeYoe EA, Wascher T, Mathews VP, Lewis JW, Prost R. Visual Object Agnosia and Pure Word Alexia: Correlation of fMRI and Lesion Localization. JCAT: Vol. 28(1) 63-67, 2004. Paradigm developed by Keith Thulborn, MD, PhD, L.P. University of Illinois, Chicago
19. DeYoe, E. A., Bandettini, P., Neitz, J., Miller, D. & Winans, P. Functional magnetic resonance imaging (FMRI) of the human brain. *Journal of Neuroscience Methods* 54, 171-187 (1994).
20. DeYoe, E. A., Carman, G., Bandettini, P., Glickman, S., Wieser, J., Cox, R., Miller, D. & Neitz, J. Mapping striate and extrastriate visual areas in human cerebral cortex. *Proceedings of the National Academy of Sciences - USA* 93, 2382-2386 (1996).
21. Saad, Z. S., Ropella, K. M., Cox, R. W. & DeYoe, E. A. Analysis and use of FMRI response delays. *Human Brain Mapping* 13, 74-93. (2001).
22. Saad, Z. S., DeYoe, E. A. & Ropella, K. M. Estimation of FMRI response delays. *Neuroimage* 18, 494-504 (2003).
23. Daniel Orringer, MD, David R. Vago, PhD, and Alexandra J. Golby, MD, Clinical Applications and Future Directions of Functional MRI, *Semin Neurol*. Author manuscript, 2012 September ; 32(4): 466–475.
24. Yanmei Tie, Ralph O. Suarez, Stephen Whalen, Alireza Radmanesh, Isaiah H. Norton, and Alexandra J. Golby, Comparison of blocked and event-related fMRI designs for



- presurgical language mapping, NIH Public Access Author Manuscript, Neuroimage. 2009 August ; 47(Suppl 2): T107–T115.
25. Martijn P. van den Heuvel, Hilleke E. Hulshoff Pol, Exploring the brain network: A review on resting-state fMRI functional connectivity, Elsevier, European Neuropsychopharmacology (2010) 20, 519–534.
26. Philippe Fossati, M.D., Ph.D. Stephanie J. Hevenor, Simon J. Graham, Ph.D., Cheryl Grady, Ph.D. Michelle L. Keightley, M.A., Fergus Craik, Ph.D., Helen Mayberg, M, In Search of the Emotional Self: An fMRI Study Using Positive and Negative Emotional Words, Am J Psychiatry 2003; 160:1938–1945.
27. An FMRI study of emotional face processing in adolescent major depression, Journal of Affective Disorders · October 2014.

